

РАСЧЕТ ТРУБЧАТОЙ МАНОМЕТРИЧЕСКОЙ ПРУЖИНЫ УНИВЕРСАЛЬНОГО СЕЧЕНИЯ

Г. И. ТЫЖНОВ

(Представлена научным семинаром кафедры сопротивления материалов)

Манометрические трубчатые пружины выпускаются с различными формами сечений: плоскоовальной, овальной, эллиптической, восьмёркообразной и т. д. В настоящее время разработаны расчеты пружин только 2-х форм сечений: эллиптического и плоскоовального [1, 2].

Целесообразно иметь единый расчет пружин нескольких сечений, но для этого нужно выбрать такую расчетную схему, вариация которой позволила бы охватить все эти сечения. Как показали исследования, достаточно удобной и простой является расчетная схема сечения, представленного на рис. 1. При $r = 0$ сечение обращается в ромб, при $r < b$ оно приближается к эллипсу или овалу, при $r = b$ имеет плоскоовальное, а при $r > b$ — восьмёркообразное сечение. Схема имеет еще и то преимущество, что она близко подходит к сечению наибольшей чувствительности, которое не рассчитано до сих пор [1].

В последующем решении используется уравнение В. И. Феодосьева [1] полной потенциальной энергии трубчатой пружины, имеющей сечение симметричное относительно осей xy :

$$\begin{aligned} \mathcal{E} = \frac{2Eh\gamma}{R(1-\mu^2)} & \left[\int_0^{s/4} w^2 ds - 2 \left(\frac{\Delta\gamma}{\gamma} \right) \int_0^{s/4} wy ds + \left(\frac{\Delta\gamma}{\gamma} \right)^2 \int_0^{s/4} y^2 ds + \right. \\ & \left. + \frac{R^2 h^2}{12} \int_0^{s/4} (\Delta x)^2 ds \right] - pR\gamma\Delta f. \end{aligned} \quad (1)$$

Здесь четыре неизвестных: относительный угол поворота концевого сечения $\Delta\gamma/\gamma$; перемещение w любой точки средней линии контура сечения в направлении оси oy ; изменение кривизны контура Δx и изменение площади сечения контура Δf . Величины же радиуса загибки пружины R , толщины стенки h , модуля упругости E , коэффициента Пуассона μ и давления среды p — известны.

Полагая, что характер деформации сечения трубчатой пружины будет такой же, как и у замкнутого контура, можно найти связи:

$$w = \varphi_1(w_0); \quad \Delta x = \varphi_2(w_0); \quad \Delta f = \varphi_3(w_0). \quad (2)$$

После подстановки зависимостей (2) в уравнение (1) останется только две неизвестных: $\Delta\gamma/\gamma$ и w_0 , где последняя величина есть деформация контура в направлении оси oy при $x = 0$.

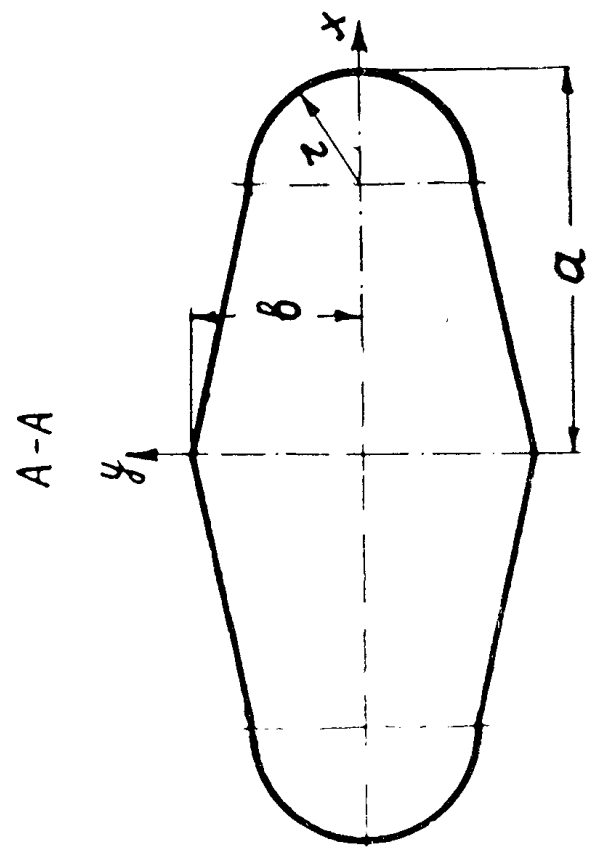
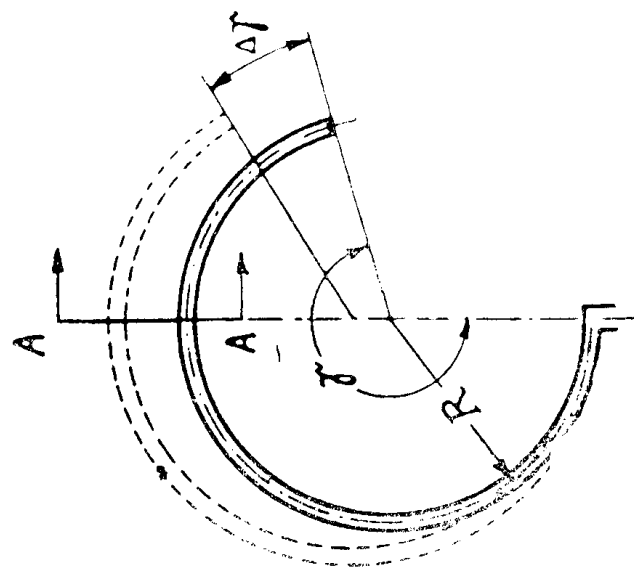


FIG. 1.



Уравнение (1) состоит из пяти членов. Первый член зависит от величины и характера деформации контура. Проведенными экспериментами было показано, что характер деформации контура очень мало зависит от его формы. Данные опытов подтверждаются также расчетами. В соответствии с этим вводится первое допущение: считая, что характер деформаций контура любого сечения будет такой же, как и у ромба ($r = 0$), первый член уравнения (1) принимаем единым во всех случаях.

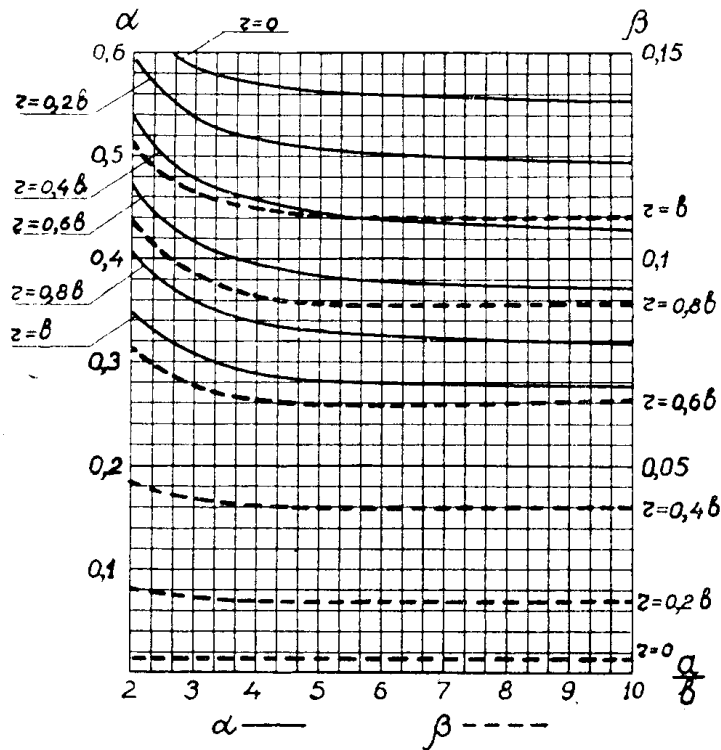


Рис. 2.

После аналогичных рассуждений такие же допущения вводятся для второго, четвертого и пятого членов. Только третий член рассчитывается именно для данного сечения. Принятые допущения значительно сокращают объем вычислений, что же касается точности решения, то она должна повышаться для таких сечений, которые приближаются к ромбическому; для других сечений точность расчета должна быть ниже.

На основании высказанных соображений, используя зависимости (2) для ромба, получаем следующие выражения для членов уравнения (1).

Первый член:

$$\int_0^{s/4} w^2 ds = w_0^2 \frac{a^9 \sqrt{1 + \kappa^2}}{24^2 m_0^2} (0,406 - 0,74 \kappa^2 + 0,34 \kappa^4) = w_0^2 \frac{a^9 \sqrt{1 + \kappa^2}}{25^2 m_0^2} A_1.$$

Второй член:

$$2 \left(\frac{\Delta \gamma}{\gamma} \right) \int_0^{s/4} w y ds = w_0 \frac{a^6}{12 m_0} \left(\frac{\Delta \gamma}{\gamma} \right) \left\{ \kappa C_1 \delta \left[(1 - \kappa^2) - \frac{2}{3} (1 - 2\kappa^2) \delta^2 - \kappa^2 \delta^3 \right] \right.$$

$$\begin{aligned}
& + \frac{1}{5} (1 + \kappa^2) \delta^4 \Big] - \frac{C_1 C_2 \delta^2}{2} \Big[(1 - \kappa^2) - (1 - 2\kappa^2) \delta^2 - 1,6 \kappa^2 \delta^3 + \\
& + \frac{1}{3} (1 + \kappa^2) \delta^4 \Big] + \kappa_1 \Big[(1 - \kappa^2) (1 - \delta) - \frac{2}{3} (1 - 2\kappa^2) (1 - \delta^3) - \\
& - \kappa^2 (1 - \delta^4) + \frac{1}{5} (1 + \kappa^2) (1 - \delta^5) \Big] \Big\} = w_0 \frac{a^6}{12m_0} \left(\frac{\Delta\gamma}{\gamma} \right) A_2.
\end{aligned}$$

Третий член:

$$\left(\frac{\Delta\gamma}{\gamma} \right)^2 \int_0^{s/4} y^2 ds = \left(\frac{\Delta\gamma}{\gamma} \right)^2 a^3 \left[C_1 \left(\kappa^2 \delta - \kappa C_2 \delta^2 + \frac{C_2^2}{3} \delta^3 \right) + \frac{\pi}{4} \kappa_1^3 \right] = \left(\frac{\Delta\gamma}{\gamma} \right)^2 a^3 A_3.$$

Четвертый член:

$$\frac{R^2 h^2}{12} \int_0^{s/4} (\Delta\kappa)^2 ds = w_0^2 \frac{\eta^2 a^9 (4 - 7\kappa^2 + 4\kappa^4)}{2160 m_0^2 \sqrt{1 + \kappa^2}} = w_0^2 \frac{\eta^2 a^9 A_4}{2160 m_0^2 \sqrt{1 + \kappa^2}}.$$

Пятый член:

$$pR\gamma\Delta f = pR\gamma w_0 \frac{a^5}{45m_0} A_4.$$

Здесь

$$\kappa = \frac{b}{a}, \quad \kappa_1 = \frac{r}{a}, \quad m_0 = \frac{a^4}{24} (1 - \kappa^2), \quad \delta = 1 - \kappa_1,$$

$$C_1 = \sqrt{1 + \left(\frac{\kappa - \kappa_1}{1 - \kappa_1} \right)^2}, \quad C_2 = \frac{\kappa - \kappa_1}{1 - \kappa_1},$$

a, b, r — размеры сечения (рис. 1).

Характеристика $\eta = Rh/a^2$ называется главным параметром пружины. Для отыскания значений w_0 и $\Delta\gamma/\gamma$, при которых энергия обращается в минимум, прибегаем к методу Ритца:

$$\frac{\partial \mathcal{E}}{\partial w_0} = 0, \quad \frac{\partial \mathcal{E}}{\partial \left(\frac{\Delta\gamma}{\gamma} \right)} = 0.$$

После дифференцирования получаем два уравнения:

$$\begin{aligned}
& \frac{4Eh\gamma}{R(1-\mu^2)} \left[w_0 \frac{a^9 A_1 \sqrt{1 + \kappa^2}}{24^2 m_0^2} - \left(\frac{\Delta\gamma}{\gamma} \right) \frac{a^6 A_2}{24m_0} + \frac{\eta^2 a^9 A_4}{2160 m_0^2 \sqrt{1 + \kappa^2}} \right] - \\
& - \frac{pR\gamma a^5 A_4}{45m_0} = 0. \tag{3}
\end{aligned}$$

$$w_0 \frac{a^6 A_2}{12m_0} - 2 \left(\frac{\Delta\gamma}{\gamma} \right) a^3 A_3 = 0. \tag{4}$$

Совместное решение уравнений (3) и (4) приводит к искомой формуле для определения относительного угла раскрытия пружины:

$$\frac{\Delta\gamma}{\gamma} = p \frac{1 - \mu^2}{E} \frac{R^2}{bh} \frac{(1 - \kappa^2) \kappa A_2 \sqrt{1 + \kappa^2}}{2A_3 (1 - \kappa^2) \left[\frac{15\sqrt{1 + \kappa^2} (A_1 A_3 \sqrt{1 + \kappa^2} - A_2^2)}{4A_3 A_4} + \eta^2 \right]}.$$

По аналогии с формулой В. И. Феодосьева [1] вводим коэффициенты α и β :

$$\alpha = \frac{\kappa A_2 \sqrt{1 + \kappa^2}}{2 A_3 (1 - \kappa^2)},$$

$$\beta = \frac{15 \sqrt{1 + \kappa^2} (A_1 A_3 \sqrt{1 + \kappa^2} - A_2^2)}{4 A_3 A_4},$$

после чего формула для расчета относительного угла раскрытия пружины получает следующий вид:

$$\frac{\Delta\gamma}{\gamma} = p \frac{1 - \mu^2}{E} \frac{R^2}{bh} \left(1 - \frac{b^2}{a^2}\right) \frac{a}{\beta + \eta^2}. \quad (5)$$

На рис. 2 приведены графики коэффициентов α и β вычисленных на электронной машине.

Таблица

| N | h мм | a мм | b мм | R мм | r мм | E кГ/мм ² | Относительный угол раскрытия $\frac{\Delta\gamma}{\gamma p}$ | | |
|---|---------|---------|---------|---------|---------|---------------------------|--|-------------------------------|----------------|
| | | | | | | | опыт $\frac{\Delta\gamma}{\gamma p}$ | Расчет | погрешность, % |
| 1 | 2 | 3 | 4 | 5 | 6 | 7 | 8 | 9 | 10 |
| 1 | 1 | 9,83 | 1,68 | 37,0 | 1,68 | 1 \cdot 10 ⁴ | 0,99 \cdot 10 ⁻³ | 0,65 \cdot 10 ⁻³ | -34,4 |
| 2 | " | 9,9 | 1,67 | 37,1 | 1,35 | " | 1,14 | 0,85 | -25,5 |
| 3 | " | 10,1 | 1,65 | 37,1 | 0,92 | " | 1,42 | 1,24 | -12,7 |
| 4 | " | 10,2 | 1,64 | 37,1 | 0,65 | " | 1,65 | 1,63 | -1,2 |
| 5 | 0,55 | 10,1 | 1,79 | 36,0 | 1,79 | 1 \cdot 10 ⁴ | 3,25 | 2,22 | -31,7 |
| 6 | " | 10,1 | 1,73 | 35,7 | 1,40 | " | 3,41 | 3,03 | -11,2 |
| 7 | " | 10,3 | 1,70 | 36,6 | 1,05 | " | 4,80 | 4,83 | + 0,6 |
| 8 | " | 10,3 | 1,74 | 36,4 | 1,00 | " | 5,43 | 4,95 | -8,9 |

В табл. 1 сравниваются результаты расчета по нашей формуле с опытными данными. Как и предполагалось, наибольшая ошибка получается при расчете пружин плоскоovalного сечения (пружины № 1 и № 5). Для пружин № 3, 4, 7 и 8, сечение которых приближается к ромбическому, расчет хорошо совпадает с экспериментом.

Выводы

- Доказана возможность создания единого расчета пружин различных форм сечений на основе введения универсального сечения.
- Предложенный вариант расчетной схемы универсального сечения позволил единым подходом рассчитывать пружины нескольких сечений. По сравнению с другими вариантами, например, составленными из дуг двух и, тем более, трех окружностей, данный вариант наиболее прост.
- Довольно произвольные и грубые допущения, принятые вначале, не очень сильно повлияли на точность расчета. Это обстоятельство дает уверенность в том, что расчет пружин без этих **допущений** будет иметь хорошую точность.

ЛИТЕРАТУРА

- В. И. Феодосьев. Упругие элементы точного приборостроения. Оборонгиз, 1949.
- Л. Е. Андреева. Упругие элементы приборов. Машгиз, 1962.
- Заказ 4890